

# FUNDAMENTÁLNÍ KONCEPT

→ (M) HD rovnice se sferickou geometrií

- malé Machovo číslo  $\ll \frac{E_{konvekce}}{E_{viskozita}} \ll 1$

-  $\frac{E_{magnetická}}{E_{viskozita}} \ll 1$

→ splněno do  $0,98 R_0$ , blíže k povrchu změny ionizace, rychlosti přibírají  $c_s$  → superadiabatická zóna

→ anelastická aproximace - rychlost, mag. pole a změny termodynamiky způsobené konvekci jsou malé oproti pozadí.

- filtrují se akustické vlny ⇒ efektivní implementace v programu

- adiabatický přístup - efektivní konvekce proniká vlna entropie

adiabaticita:  $\epsilon = \frac{\frac{\partial T}{\partial r} - \left(\frac{\partial T}{\partial r}\right)_{ad}}{\frac{\partial T}{\partial r}} = -\frac{H_T}{c_p} \frac{\partial S}{\partial r}$

pro  $\left(\frac{\partial T}{\partial r}\right)_{ad} = -\frac{g}{c_p}$

na  $\odot$ :  $\epsilon < 10^{-4}$  vlně, ať na posledních pár procent poloměru ( $r < 0,97$ )

$\epsilon < 10^{-2}$  pro  $t \leq 0,995 R_0$

⇒ termodynamické změny způsobené konvekci jsou malé oproti stratifikovanému pozadí

tedy  $\bar{p} N^2 \leq P \Rightarrow \frac{H_T}{c_s} \ll 1$

$c_s = \sqrt{\gamma \frac{P}{\rho}}$

→ anelastická aproximace OK.

+ ideální plyn:  $\frac{\partial \bar{P}}{\partial r} = -\bar{\rho} g$ ,  $\bar{P} = (c_p - c_v) \bar{\rho} \bar{T}$

$\frac{\bar{S}}{c_p} = \frac{1}{\gamma} \ln\left(\frac{\bar{P}}{P_0}\right) - \ln\left(\frac{\bar{\rho}}{\rho_0}\right)$

= x/1 =

kovnice

$\bar{x}$  ... pozadová hodnota

$x$  ... pertubace

$$\nabla \cdot (\bar{\rho} \mathbf{v}) = 0$$

$\mathbf{v}$  ... vektor  
 $\mathbf{B}$  ... vektor  
 $\boldsymbol{\Omega}$  ... vektor

$$\bar{\rho} \left( \frac{\partial \mathbf{v}}{\partial t} + (\mathbf{v} \cdot \nabla) \mathbf{v} \right) = -\nabla P - \rho \mathbf{g} - 2\bar{\rho} (\boldsymbol{\Omega}_0 \times \mathbf{v}) + \frac{1}{\mu} (\nabla \times \mathbf{B}) \times \mathbf{B} + \nabla \cdot \boldsymbol{\sigma}$$

$$\bar{\rho} T \left( \frac{\partial S}{\partial t} + \mathbf{v} \cdot \nabla S \right) = -\bar{\rho} T \mathbf{v}_r \frac{dS}{dr} + \nabla \cdot \left[ \kappa \bar{\rho} C_p \left( \nabla T + \frac{d\mathbf{T}}{dr} \right) \right] + \mathcal{Q} + \rho \kappa j^2$$

$$\frac{\partial \mathbf{B}}{\partial t} = \nabla \times (\mathbf{v} \times \mathbf{B}) - \nabla \times (\eta \nabla \times \mathbf{B})$$

linearizovaná stavová rovnice

$$\frac{\rho}{\bar{\rho}} = \frac{P}{\bar{P}} - \frac{T}{\bar{T}} = \frac{P}{\gamma \bar{P}} - \frac{S}{C_p}$$

tenzor viskozity  $\mathcal{D}_{ij} = -2\gamma \nu \left[ e_{ij} - \frac{1}{3} (\nabla \cdot \mathbf{v}) \delta_{ij} \right]$

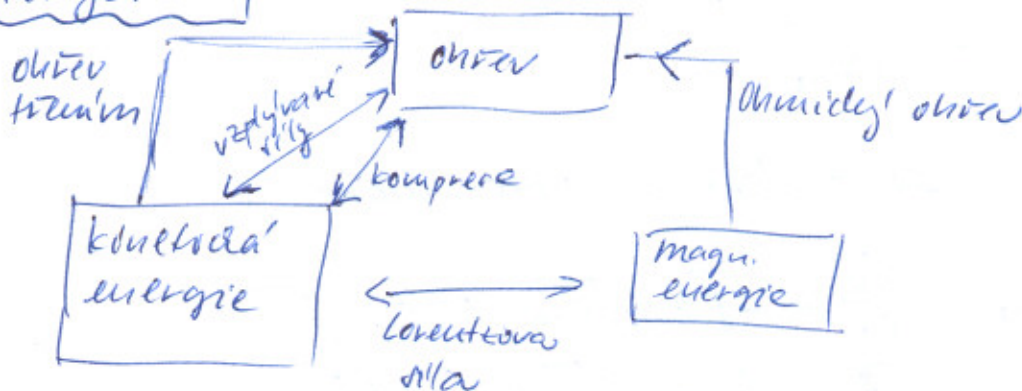
rychlost ohřevu  $\mathcal{Q} = 2\nu \bar{\rho} \left[ e_{ij} e_{ij} - \frac{1}{3} (\nabla \cdot \mathbf{v})^2 \right]$

$e_{ij}$  ... tenzor ~~rychlosti~~ deformace

$$e_{ij} = \frac{1}{2} \left( \frac{\partial v_i}{\partial x_j} + \frac{\partial v_j}{\partial x_i} \right)$$

$$\mathbf{j} = \frac{1}{\mu} \nabla \times \mathbf{B}$$

### Energetika



=  $\kappa/2$

1. rovnice pohybu /  $n_0$  ;  $E_k = \frac{1}{2} \bar{\gamma} n^2$

$\Rightarrow \frac{\partial E_k}{\partial t} = -\nabla \cdot (n E_k - n \cdot \mathcal{D}) - n \cdot \nabla p = n_r \rho g + n \cdot (j \times B) - \dots$   
+ další manipulace

$\hookrightarrow \frac{\partial}{\partial t} (E_k + E_t + E_m) =$

$= -\nabla \cdot (F^{KE} + F^{EN} + F^{RD} + F^{PF} + F^{VD} + F^{BS})$

- $E_t$ ... tepelná  $E_t = \bar{\gamma} \bar{T} S$
- $E_m$ ... magnetická  $E_m = \frac{B^2}{2\mu_0}$
- $F^{KE}$ ... tok kinetické energie ;  $F^{KE} = E_k \vec{v}$
- $F^{EN}$ ... tok entalpie ;  $F^{EN} = (\bar{\gamma} \bar{T} S + P) \vec{v} = \bar{\gamma} c_p T \vec{v}$
- $F^{RD}$ ... tok energie zátvorem difúzí ;  
 $F^{RD} = -\alpha_r \bar{\gamma} c_p \left( \nabla T + \frac{dT}{dn} \frac{v}{r} \right)$
- $F^{PF}$ ... Poyntingův tok  
 $F^{PF} = \left\{ \omega_j - \frac{1}{E} (\vec{v} \times B) \right\} \times B$
- $F^{VD}$ ... tok viskozní energie (tržení);  $F^{VD} = -n \cdot \mathcal{D}$
- $F^{BS}$ ... tok potenciální energie požadové stratifikace  
 $F^{BS} = \bar{\gamma} n \bar{Q}$

většinou konv. obálky dominuje  $F^{EN}$ , kde uvnitř

$F^{KE}$  ... slabí a kde dominuje

$F^{RD}$ ... v kř. zanedbatelný, důležitý v zátvorném útrobu

$F^{PF}$ ... pro proces dynamu, jinak zanedbatelný

$F^{VD}$ ... obecně zanedbatelný

$F^{BS}$ ... pokud je referenční rámec adiabatický, pak  $F^{BS} = 0$ , měněno je to to, co konvektivní pohyb spolu s  $F^{RD}$  způsobuje



pokud tepelná rovnováha:

$$\left\langle \vec{F}_r^{KE} + \vec{F}_r^{EN} + \vec{F}_r^{RD} + \vec{F}_r^{PF} + \vec{F}_r^{LD} \right\rangle_{\text{eff}} \equiv \frac{L_0}{4\pi r^2}$$

cesta k rovnováze trvá dlouho

$$\tau_{\text{rad}} = \frac{Mez C_V \bar{T}}{L_0} \sim 10^5 \text{ let}$$

relaxace zataž dlouho

$\tau_{\text{conv, turnover}} \sim 1 \text{ měsíc}$

## PŘENOS MOMENTU HÝBNOSTI

$$\mathcal{L} = r \sin \vartheta (\Omega_0 r \sin \vartheta + \langle v_\varphi \rangle) = \lambda^2 \Omega$$

$$\lambda = r \sin \vartheta$$

přímeř (zonální) pohybové rovnice:

$$\frac{\partial}{\partial t} (\bar{\rho} \mathcal{L}) = -\nabla \cdot (F^{ME} + F^{RS} + F^{VD} + F^{MS} + F^{MT})$$

mer. cívka

$$F^{ME} = \bar{\rho} \langle \vec{v}_M \rangle \mathcal{L}$$

Reynolds

$$F^{RS} = \lambda \bar{\rho} \sin \vartheta \left( \langle v_r^2 v_\varphi \rangle \frac{\vec{r}}{r} + \langle v_\varphi^2 v_r \rangle \frac{\vec{r}}{r} \right)$$

Maxwell

$$F^{MS} = -\frac{\lambda \sin \vartheta}{4\pi} \left( \langle B_r^2 B_\varphi \rangle \frac{\vec{r}}{r} + \langle B_\varphi^2 B_r \rangle \frac{\vec{r}}{r} \right)$$

střední pole

$$F^{MT} = -\frac{\lambda \sin \vartheta}{4\pi} \langle B_\varphi \rangle \langle \vec{B}_M \rangle ; \vec{B}_M = B_r \frac{\vec{r}}{r} + B_\varphi \frac{\vec{r}}{r}$$

viskózní difúze

$$F^{VD} = -\bar{\rho} \nu \lambda^2 \nabla \Omega$$

$F^{ME} = \bar{\rho} \langle \vec{v}_M \rangle \mathcal{L}$  komponente  $\bar{\rho} \langle \vec{v}_M \rangle \lambda^2 \Omega_0$  je akce Coriolisovy síly, která přeměňuje mernou cívku do zonální

$$-\nabla \cdot F^{ME} = -\bar{\rho} \langle \vec{v}_M \rangle \cdot \nabla \mathcal{L}$$

$\Rightarrow$  MC kolmá k  $\mathcal{L}$  distribuuje  $\mathcal{L}$ , aby byl konst. pokud proudíme  $\Rightarrow$  pokud buňka od rovníku k pólům, pak přenos tak, aby pólů rychlejší  $\rightarrow$  to ale není skutečným případem, takže slovy jiná

-x/4=

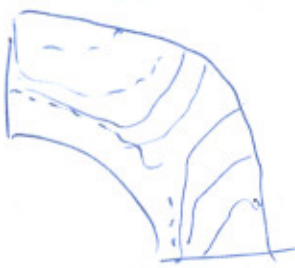
hlavní původce udržování dif. rotace - Reynoldsův tenzor

→ redistribuce hlavních kovekt, osově nesymetrickými pohyby. → korelace mezi komponentami fluktuací pole

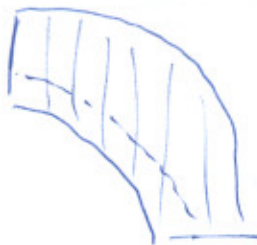
$\langle \pi_{ij} v_i v_j \rangle$  ... transport úhlového momentu v síťce

$\langle \pi_r v_r \rangle$  ... -h- r hloubce zdrojem RS i vlny, přestřelování, shear ve stavu rovnováhy:  $\nabla \cdot F^{RS} = -\nabla \cdot F^{MC}$

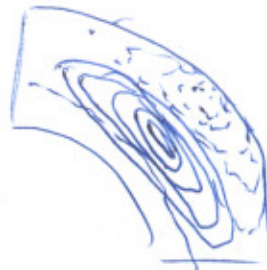
model:



difúze



$\mathcal{L} = \Lambda^2 \Omega$   
moment úhlový



$\nabla \cdot F^{MC}$  — +  
..... -

⇒ pokud rovnováha, pak RS musí urychlovat hlubší kZ a rovnat a decelerovat p dle a horní kZ

### Taylor - Proudman theorem

- pokud se pevné těleso pomalu pohybuje tekutinou, která se otáčí s vysokou rychlostí  $\Omega$ , pak bude rychlost tekutiny konstantní podél libovolné přímký rovnoběžné s osou rotace.  $\Omega$  musí být větší než rychlost pohybu tělesa, aby byla Coriolisova síla větší než odstředivé.

Důkaz:  $\rho(\mathbf{w} \cdot \nabla) \mathbf{w} = \mathbf{F} - \nabla p$  ... Navier-Stokes



pokud uvažujeme oteklý zanedbatelný a tekutina tedy nekompresibilní ( $\rho = \text{konst}$ ), pak

$$2\mu \nabla \times \omega = -\nabla p \quad | \cdot \nabla \times$$

$$2\mu \nabla \times (\nabla \times \omega) = -\nabla \times \nabla p = 0$$

$$\underbrace{\nabla \cdot \omega}_{=0} + (\nabla \cdot \nabla) \omega = 0$$

~~$(\nabla \cdot \nabla) \omega = 0$~~  Taylor-Proudman  
potřebujeme  $\nabla \cdot \omega = 0$

$$\text{pro: } \Omega_x \frac{\partial \omega}{\partial x} + \Omega_y \frac{\partial \omega}{\partial y} + \Omega_z \frac{\partial \omega}{\partial z} = 0$$

, pro  $\Omega_x = \Omega_y = 0$

$$\Rightarrow \Omega_z \frac{\partial \omega}{\partial z} = 0 \Rightarrow \frac{\partial \omega}{\partial z} = 0 \quad \text{pro } \Omega_z \neq 0$$

Rossbyho číslo:  $Ro = \frac{U}{2\Omega_0 r}$

$U \dots$  char. rychlost  
vše rotujícího  
framu

pak - pokřve

$$2\Omega_0 \times \langle \mathbf{r} \rangle_{\varphi, t} + \frac{\nabla \langle p \rangle_{\varphi, t}}{\rho} + \frac{\langle p \rangle_{\varphi, t}}{\rho} \frac{\mathbf{r}}{r} = 0 \quad | \cdot \nabla \times$$

a zvažme komponenty

$$\boxed{\Omega_0 \cdot \nabla \Omega = \frac{g}{2c_p \Delta h} \frac{\partial \langle S \rangle_{\varphi, t}}{\partial r}} \quad \downarrow \text{rotace}$$

Taylor-Proudman  
pro  $\odot$  s diferenciativou  
rotací

pro perfektně adiabatickou stratifikaci  $\frac{\partial S}{\partial r} = 0$

$\Rightarrow \Omega_0 \cdot \nabla \Omega = 0 \Rightarrow$  rotace cylindrická

pro  $\frac{\partial S}{\partial r} < 0$  (teple pole)  $\Rightarrow \Omega_0 \cdot \nabla \Omega < 0$ , pokud  $\Omega$  k  
vyšším šířkám

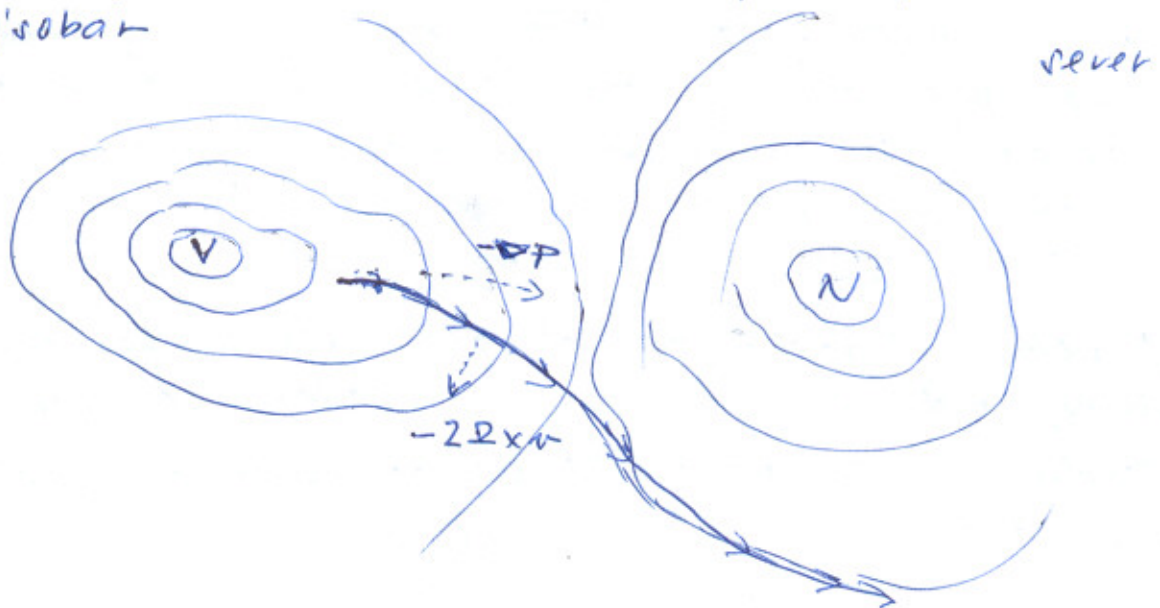
širkový gradient entalpie (u. hustoty u. teploty) na isobarické  
ploché vede k ne cylindrické rotaci

-  $x/b =$

# geostrofovej' vitr

- teoretické proudění, které je důsledkem převahy rovnováhy mezi Coriolisovou silou a gradientem tlaku.
- podél isobar
- v realitě není rovnováha převaha kvůli tření a odstředivé síle

- 
1. vítr z oblasti s vysokým tlakem do oblasti s nízkým tlakem
  2. odkloněn Coriolisovou silou kvůli rotaci (na severu doprava, na jihu doleva)
  3. proud zrychluje, stejně se zvětšuje odklon Coriolisem
  4. až je dosažena rovnováha → pohyb není od vyššího k nižšímu tlaku, ale podél isobar



rovnice:  $-\rho \cdot 2w(\sin\phi) \sin\alpha v_y = \frac{\partial P}{\partial x}$

$\rho \cdot 2w(\sin\phi) \sin\alpha v_x = \frac{\partial P}{\partial y}$

$$v_y = \frac{-1}{2w(\sin\phi) \sin\alpha \rho} \cdot \frac{\partial P}{\partial x} = v_x$$

$$v_x = \frac{1}{2w(\sin\phi) \sin\alpha \rho} \cdot \frac{\partial P}{\partial y} = v_y$$



⇒ oblasti nižšího tlaku jsou obilňány proto směrem hodinových ručiček na severní polokouli

↳ pokud tření ⇒ zpomaluje účinek Coriolisovy síly ⇒ tlakové více → větry spirálují dovnitř.

→ funguje pokud  $R_0 = 1/\alpha E$  je malej (τ... dlouh, vs)

## Teplný vítr

vertikální síla v geostrofickém větru způsobený horizontálním gradientem teploty

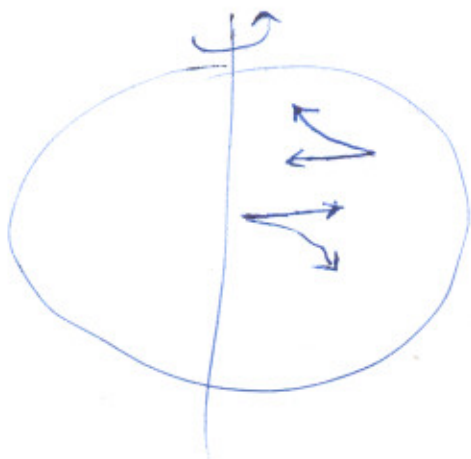
komponenta (ne-cylindrická), která splňuje Taylor-Proudmanův teorem, je teplý vítr. Ten je indukován gradientem (sítkovým) entropie.

Ve sluneční obloze →  $\frac{\partial \rho}{\partial r}$  způsobem asymetrických efektů konvekce rotací. Pokud je konvekce efektivnější u pólu, póly se ochladí. ~~Pro~~ celkový tok dodávaný zespodu musí být stejný jako přenesený konvekci ⇒ musí docházet k sítkovému transportu energie. Pole anizotropického přenosu energie pak může mít vliv na udržení diferencíální rotace podobně jak RS.

Sluneční případ → pokud platí rovnováha teplotního větru, pak póly a oceán SK teplejší než rovník.

Teplý vítr je nezávislý na parametrech meridionální cirkulace.

## Diferenciální rotace



rychlejší → přenos momentu  
hybnosti k rovníku

pomalější → k pólu pomalejší  
elementy

lokálně se nezároveň tato  
komponenta hybnosti

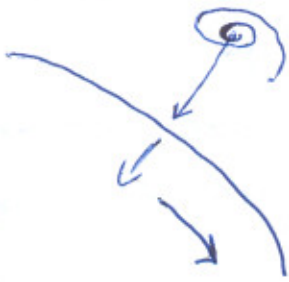
⇒ rovník se urychluje

→ proti meridionální cirkulaci

$$= X/\rho \pm$$



## Downflow plume



pohyb dolů → cyklowečný  
 dole zadrževán vzplývajícími silami, divergencí,  
 získává anticyklonální složku  
 → přenos momentu hybnosti  
 kroužkem

## Torzní oscilace - Spruit, Sol. Phys 2003

pařby rychlejší (a pomalejší) rotace, aktivní oblasti se  
 objevují na hraně rychlejšího a pomalejšího páru.  
 Oscilace nejlépe vidět na rovnoběžné hraně aktivního  
 páru. Migrují s aktivitou  
 Co je způsobuje?

! není to geostrofický tok?

$$\frac{\partial p}{\partial x} = -2\rho v_x \Omega \sin \vartheta$$

neúspěšná otázka? Ekmanovo číslo rozhoduje

$$E = \nu / (\Omega L^2), \quad L \dots \text{char. délka délky}$$

pro  $E \geq 1$  se musí tření započítat

typické hodnoty  $Ro$  a  $E$  pro torzní oscilace:

$$\tau \sim 1 \text{ yr} \Rightarrow Ro = \tau / (\Omega \tau) \approx 0,01$$

pro  $\nu \sim 10^{13}$  (granulace)

$$\Rightarrow \text{pro } E \sim 1 \text{ musí být } L_E \sim 10 \text{ Mm}$$

→ pro činnosti na skále musí být 10 Mm →  
 → započítat tření

↳ aktivní páry → je to systém s vztahem  
 Hokeem?

$$\text{odhad: } \frac{\partial p}{\partial x} \approx \int_0^d \frac{\partial \tau}{\partial x} \frac{dz}{H_p} \sim \frac{\nu \partial T}{T}$$

$\nu \dots$  počet  $H_p$ ,  
 které se vejdnou  
 do 0-d  
 =  $x/q =$

silu aby  $\frac{\delta p}{\rho} < 0 \Rightarrow \delta T < 0$

→ to je OK, v páscech aktivity zvýšené vyzerávají,  
tedy plyn musí být chladnější

→ úvahy v malých mg. elementech (klot klesá)  
↳ emuluje více proto, že mg. pole redukuje  
opacitu

pro  $L \dots$  sítkový rozměr perturbace teploty

$$\Rightarrow \frac{\delta P}{P} = -2 \sin \theta \frac{\omega \Omega L}{c_s^2}$$

pro  $c_s = 10^4 \text{ m/s}$ ;  $\omega = 5 \text{ m/s}$ ,  $L \sim 3 \times 10^8 \text{ m}$

$$\Rightarrow \frac{\delta P}{P} \sim -5 \times 10^{-5}$$

tedy pro  $\frac{\delta T}{T}$

pro kvantitativní odhad → stratifikace

↳ "pseudopolytropní" model — polytropa s lineárním  
teplotou

$$T = T_0 \xi \quad ; \quad \xi = 1 + \frac{z}{z_0} \quad ; \quad z=0 \text{ fotosféra}$$

$$\rho = \rho_0 \xi^2$$

$$P = P_0 \xi^3 \quad \text{+ normalizace po } P_0 = z_0 \rho_0 g/3$$

$$\Rightarrow \frac{d \ln T}{d \ln P} = \nabla = 1/3$$

pro superadvaldní gradient

$$b \equiv \nabla - \nabla_{\text{ad}} = C_0 \xi^{-2} \quad ; \quad C_0 \sim 0,25$$

dať se to dokončady:  $\frac{\Delta T}{T} = \int b d \ln P = \frac{3}{2} C_0 \xi^{-2}$

$$\Rightarrow \frac{\delta T}{T} = \epsilon \xi^{-2}$$

$$\hookrightarrow \equiv \left( \frac{\delta T}{T} \right)_0$$

$$= X/10 =$$



pro  $\delta P$ :

$$\delta \ln P = \int \frac{\delta T}{T} \frac{dz}{H} = \frac{\epsilon z_0}{2H_0} \xi^{-2}$$

$H_0 \dots$  považujeme!

$$\Rightarrow \boxed{N = N_g \xi^{-1}}; \quad N_g = \frac{\epsilon z_0}{2H_0} \frac{c_{s0}^2}{2\Omega L \sin^2 \theta}$$

geostrofický tok atmosféry  $c_{s0} \sim 10 \text{ km/s}$

musíme určit  $\epsilon = \left( \frac{\delta T}{T} \right)_0$

uvážujeme 10% fikční bouřku

$$\Rightarrow \text{pro } T_k \quad \frac{\delta F}{F} \sim 10^{-3}$$

$$\epsilon \sim \frac{\delta F}{F} \sim 10^{-3}$$

$$\Rightarrow \text{pro } L \sim 3 \times 10^8 \text{ m} \rightarrow N \sim 5 \text{ m/s pro } z \sim 10 \text{ Mm}$$

pro  $z=0$   $N \sim 100 \text{ m/s}$ , což je divné!

je to divné proto, že na skalách pod 10 Mm se musí započítat tření

$\rightarrow$  je zapotřebí získat opravu

přesnější řešení:  $N_g = 250 \text{ m/s}$

$$N_{x0} = N_{y0} = \frac{N_g}{\lambda} \sin(ky)$$

$$\lambda \sim 40$$

$$\Rightarrow \boxed{N_{x0} = N_{y0} \sim 6 \text{ m/s}}$$

artikulovaný charakter, když i vtok plazmatu do aktivních pásů

$\rightarrow$  není řízeno odpodem, proto termální balanc skrze konv. zohme  $\tau \sim 10^5 \text{ let}$

= x/11 =

Reynoldsovo číslo

$$Re = \frac{vL}{\nu}$$

důležitost inert. sil proti viskozitě  
Re malí → laminární

Taylorovo číslo

$$Ta = \frac{4\Omega^2 r^4}{\nu^2}$$

důležitost odstředivé síly

Ta velká → odstředivé síle důležitější

Rayleighovo číslo

$$Ra = \frac{\rho \beta}{\nu \alpha} (T_s - T_\infty) L^3$$

důležitost vzplývající síly  
Ra velká → konvekce

$\beta$  ... termální expanze koeficient

$\alpha$  ... tepelná difuzivita

$\nu$  ... kinematická viskozita

Prandtlovo číslo

$$Pr = \frac{\nu}{\alpha}$$

Pr malí → vedení spíše kondukce

Ekmanovo číslo

$$Ek = \frac{\nu}{2L^2 \Omega \sin \theta} \sim \frac{\nu}{\Omega L^2}$$

důležitost tření v rotujícím prostředí

Ek malí → lze zanedbat tření

Rossbyho číslo

$$Ro = \frac{1}{\Omega \tau}$$

důležitost Coriolisovy síly oproti odstředivé

Ro malí → Coriolis

Ro velké → odstředivá síla

Machovo číslo

$$Ma = \frac{v}{c_s}$$

podzvukové Ma < 1  
zvukové Ma = 1  
transzvukové Ma ∈ (0,8 - 1,5)  
nadzvukové Ma ∈ (1,2 - 5)  
hypervzvukové Ma > 5  
↳ ionizace a disociace plynu

Reynoldsovo magnetické

$$Rm = \frac{vL}{\zeta}$$

důležitost advekce mag. pole proti jeho difuzi

Rm malí → difuzní charakter